## Formación Planetaria

Tema central a la astrobiología: Potencial único para el habitat de organismos

✓ Medio ambiente relativamente estable

✓ Ambiente rico en especies químicas, termodinámica apropiada para reacciones moleculares complejas
 ✓ Fuente de energía permanente: Estrella central, actividad volcánica & tectónica

#### Existe una gran gama de tipos planetas.

¿Composición química de los sistemas planetarios? ¿Qué determina la arquitectura orbital de estos planetas? Estos 2 puntos tienen gran impacto en las propiedades de su superficie...

Mecanismos de formación planetaria son, en este momento, *altamente inciertos*.

Considerable progreso en el desarrollo de los fundamentos físico-matemáticos: Teoría completa del proceso Necesidad de tener una gran gama de "ejemplos": Diferentes etapas evolutivas & diferentes condiciones inciales

En esta clase veremos algunos ingredientes fundamentales, usando argumentos físicos básicos Contexto: Nuestro propio Sistema Solar (¡efecto de selección!).

## Nuestro SS: Gigantes de gas & gigantes de hielo

Los planetas *gigantes* dominan la masa planetaria de nuestro SS Júpiter (318M<sub>⊕</sub>), Saturno (95M<sub>⊕</sub>), Urano (15M<sub>⊕</sub>) & Neptuno (17M<sub>⊕</sub>)

## Extensas atmósferas dominadas por H<sub>2</sub> y He

¡Composición similar a la deducida de discos proto-estelares!

<u>Júpiter y Saturno</u> (*gigantes de gas*): La masa total esta dominada por su atmósfera (núcleo de material rocoso ~10-20M<sub>®</sub>)

Acumulación de gas "primordial" del disco proto-planetario (misma % que la acumulada por el proto-Sol)

<u>Urano & Neptuno</u> (*gigantes de hielo*): Gran abundancia metálica (atmósferas mucho mas pequeñas, núcleo de material rocoso & hielo ≤10M<sub>⊕</sub>) ¿Semillas a partir de la cual se forman gigantes de gas?

Property	Jupiter	Saturn	Uranus	Neptune
Atmospheric H <sub>2</sub> by volume	89%	96%	83%	80%
Atmospheric He by volume	10%	3%	15%	19%
Metal abundance (relative to Sun)	5 " Ines	15	300	300
Mean density (g $cm^{-3}$ )	1.3	0.7	1.3	1.6
Number of satellites	63	60	27	13

## Escenarios de Formación

(de planetas gigantes)

Composición de las atmósferas de estos planetas  $\Rightarrow$  deben formarse **rápidamente**, durante el período en el que aun existe un disco proto-estelar gaseoso  $\sim 3\times10^6-10^7$  años.

Se barajan *dos modelos*Inestabilidad gravitacional (IG) &
Inestabilidad del núcleo (IC, o de acreción nuclear con captura de gas).

IG: ~Inestabilidad de Jeans: Planetas se forman directamente desde disco proto-estelar.

Acumulación de material sólido gracias al pozo de potencial generado por un fragmento "Top-down": El núcleo sólido de los planetas se forma tardíamente.

Requiere de foto-evaporación se encarga de producir los gigantes de hielo: ¿Fuente?

Ventaja: Ocurre rápido (recordar t<sub>ff</sub>)

Desventaja: No hay una "masa caraterística" (función de masa plana), contrario a las observaciones

IC: Coagulación de partículas microscópicas de polvo ⇒ *planetesimales* (~1 km)

Colisión y aglomeración  $\Rightarrow$  núcleos sólidos de 10-15 $M_{\oplus}$  (*embriones*) Acreción gravitacional de gas sobre estos núcleos masivos

Ventaja: Mismo mecanismo responsable de formación de planetas rocosos.

Desventaja: Núcleo sólido debe formarse rápidamente, antes que se disperse el gas.

#### Actualmente se favorece la IC...

Observación: Mas planetas alrededor de estrellas de alta metalicidad ¿efectos de selección?, efectos sobre la "arquitectura" orbital... ¿Ambos mecanismos en acción? campo en rápido desarrollo...

## Nuestro SS: Planetas rocosos (o Terrestres)

#### Mercurio, Venus, Tierra, Marte

Atmósferas tenues, abundantes en "elementos pesados", masas 1/10-1/100 de los planetas gigantes.

En otros sistemas se observa un "continuo" de masas entre estos pequeños planetas y los planetas gigantes...

Algunas "lunas" de planetas gigantes son comparables a estos planetas rocosos: Ganymides (Jupiter): 0.025 M<sub>⊕</sub>, 0.41R<sub>⊕</sub> (¡mayor que Mercurio!). Titán (Saturno) es similar a Ganymides... Entonces, su población puede ser tan significativa como la de los planetas rocosos mismos…elemento significativo para la astrobiología.

Escenario de formación: Acumulación de sólidos (ver etapa inicial en modelo IC), hasta formar grandes cuerpos, en escalas de tiempo de 10<sup>6</sup> - 10<sup>8</sup> años.

Property	Mercury	Venus	Earth	Mars
Mass (M <sub>⊕</sub> )	0.055	0.82	1.0	0.11
Total mass of atmosphere (kg)	< 10 <sup>3</sup>	$5 \times 10^{20}$	$5 \times 10^{18}$	$3 \times 10^{16}$
Mean density (g cm <sup>-3</sup> )	5.4	5.3	5.5	3.9
Number of satellites	iets (i.e. Ord	ion of por	hlud agan	2

# Etapa inicial: Coagulación (acumulación) de sólidos.

Observaciones de discos proto-planetarios  $\Rightarrow$  99% de gas, 1% sólidos (por masa),  $\sim$ 1/3 masa estelar central,  $\sim$ 100 UA (en el SS los sólidos contienen  $\sim$ 0.01M $_{\odot}$ ).

Mayor incertidumbre: ¿Cómo se acumula el polvo microscópico, parte del disco PP, en pequeños cuerpos sólidos?

Condensación de polvo ⇒ Fenómenos de *nucleación* – fuerzas intra-moleculares (para + detalles ver Scharf, Capítulo 7.5 y siguientes) ¿Polvo *vs.* molécula? Los "cirrus IR" ~100 átomos, ≤10 Å

Aglomeración de polvo, una vez que comienza, procede rápidamente ⇒ población de partículas con tamaños cm-m, que se *sedimentan* del gas concentrándose en el plano del disco PP.

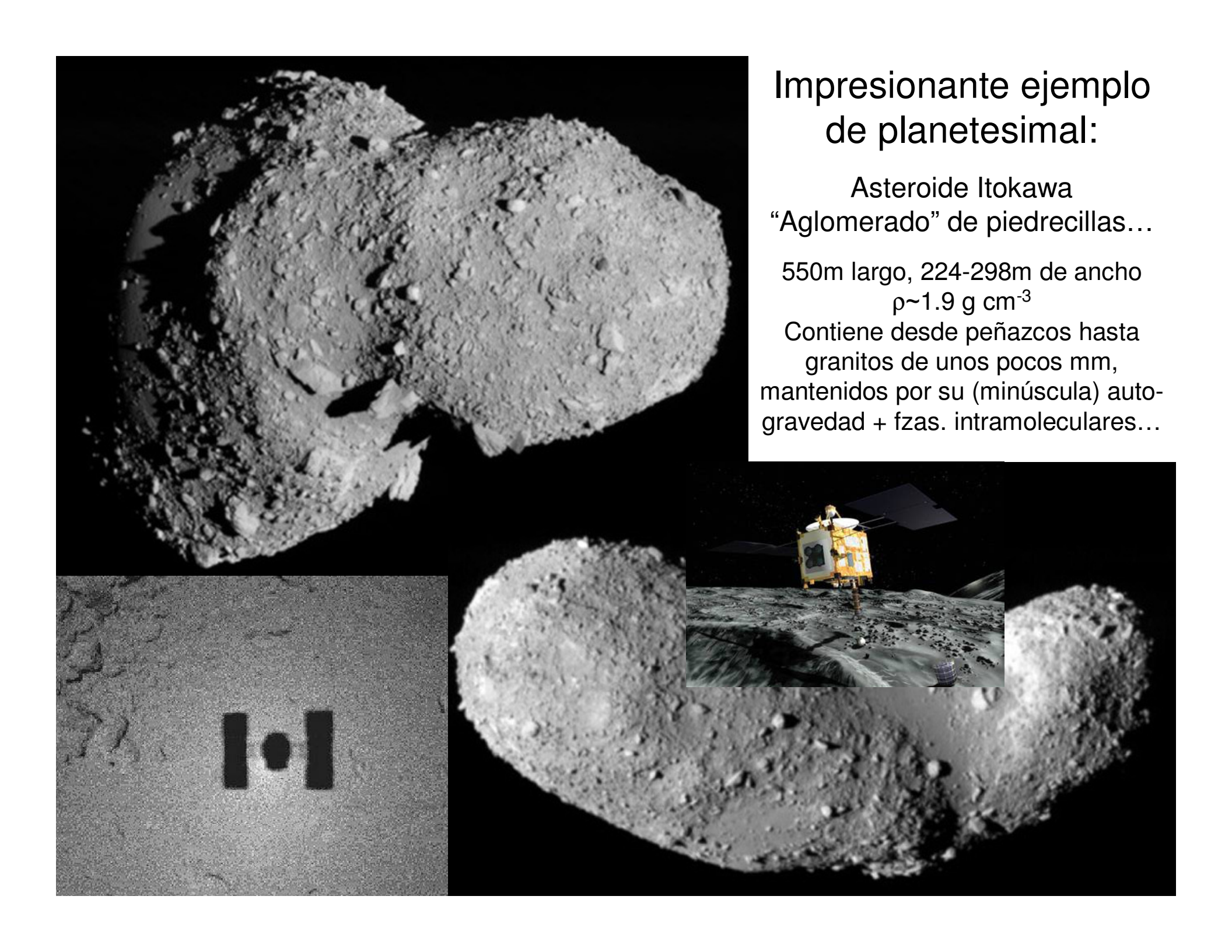
En el disco, estas partículas colisionan, continúa la aglomeración y se forman los *planetesimales*.

En lo que sigue *asumiremos* la existencia de planetesimales.

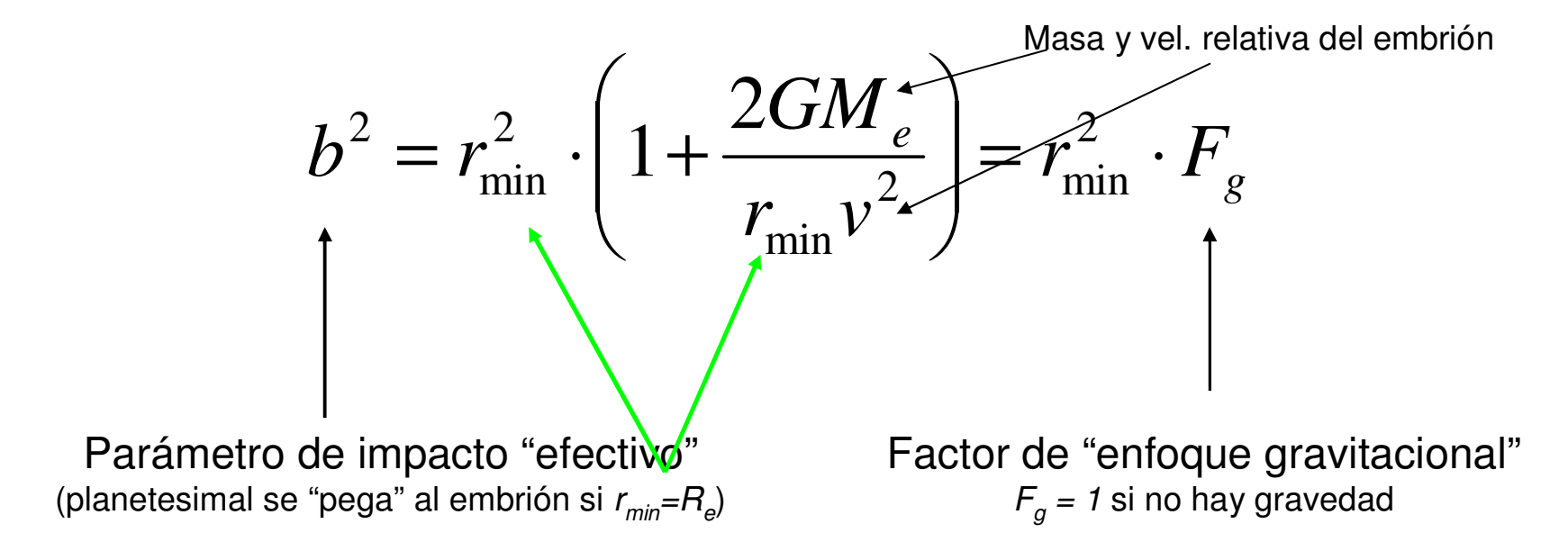
Espectro de tamaños de planetesimales:

Los mayores serán nuestros *embriones* planetarios,

estudiaremos su evolución temporal.



## Enfoque gravitacional & crecimiento del embrión



El embrión "barre" y acumula objetos mas pequeños (planetesimales)...

Su atracción gravitacional le permite agarrar objetos mas allá de su sección eficaz geométrica  $(R_e)$ ....

Con esta sección eficaz  $(\pi b^2)$  se puede calcula la "tasa de acreción" de planetesimales sobre el embrión...

Para "enfoque débil" ( $F_{g}\sim 1$ ), la tasa relativa de crecimiento del embrion se hace mas pequeña cuando el embrión crece.

Para  $F_g >> 1$ , el embrión crece de manera "explosiva"...

## Distribución de tamaños

¿Un embrión único? Probablemente no. Distribución de masas de planetesimales, que crecen por coagulación (o a expensas) de otros planetesimales.

Notar que la tasa de cambio de tamaño de todo los objetos no depende del tamaño, es la misma:

Objetos mas pequeños comienzan a *asemejarse* a los mas grandes.... la distribución de tamaños *tiende* hacia los objetos mas grandes....

$$\frac{dR_e}{dt} = \frac{1}{4} \cdot \frac{\rho_s}{\rho_e} \cdot v$$
Densidad espacial de planetesimales
Densidad espacial de embriones

[Caso de enfoque gravitacional débil (¡etapas iniciales!)...]

## Ecuación de coagulación

A medida que los planetesimales se "funden", la estadística de la distribución de tamaños cambia:

Crece el número de objetos *mas grandes*, a expensas de una disminucíon del número de *objetos pequeños* ("limpieza del disco PP")

Esto está descrito por la "ecuacion de coagulación"

$$\frac{dn_k}{dt} = \frac{1}{2} \sum_{i+j=k} A_{ij} n_i n_j - n_k \sum_{i=1, i \neq k}^{k_{\text{max}}} A_{ki} n_i$$

 $n_k$ = Número de objetos con masa  $m_k$ = $k \times m_1$ k entero. Masa "primordial"  $m_1$ 

Aumento de  $n_k$  debido a la colisión Y fusión de objetos mas pequeños

Disminución de  $n_k$  debido a la incorporación en objetos de mayor tamaño.

 $A_{ij}$ = Probabilidad (en [s<sup>-1</sup>]) de colisión (& fusión) entre planetesimales de masa  $m_i$  y  $m_j$ 

Solución numérica, no es tan simple...(+ disrupción & fragmentación)

Un caso "analítico" es cuando  $A_{ij}$  = cte =  $\alpha$  (OK para etapas iniciales)

# Resultado ecuación de coagulación Evolución con $A_{ij}$ = $\alpha$

Inicialmente no hay objetos con k>1...

Objetos con k>1 crecen en el tiempo, a expensas de k=1

¡Eventualmente el numero de objetos de **todos** los tamaños se hace muy similar! (ver gráfico de + abajo).

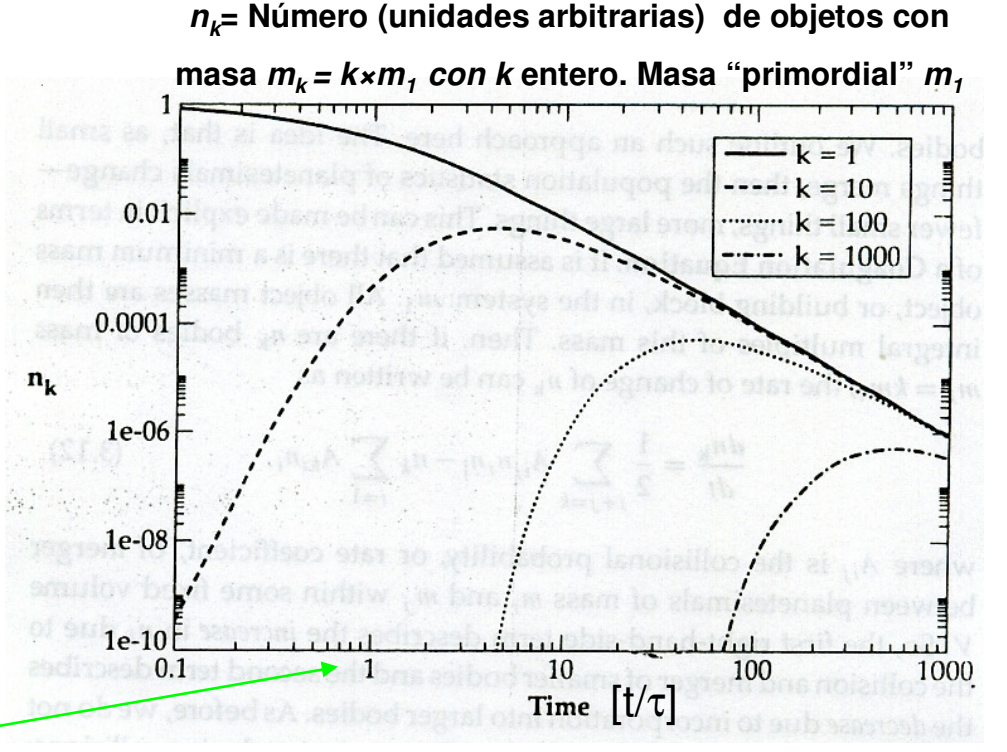
Notar que todas las masas tienen un máximo de abundancia, que luego decrece.

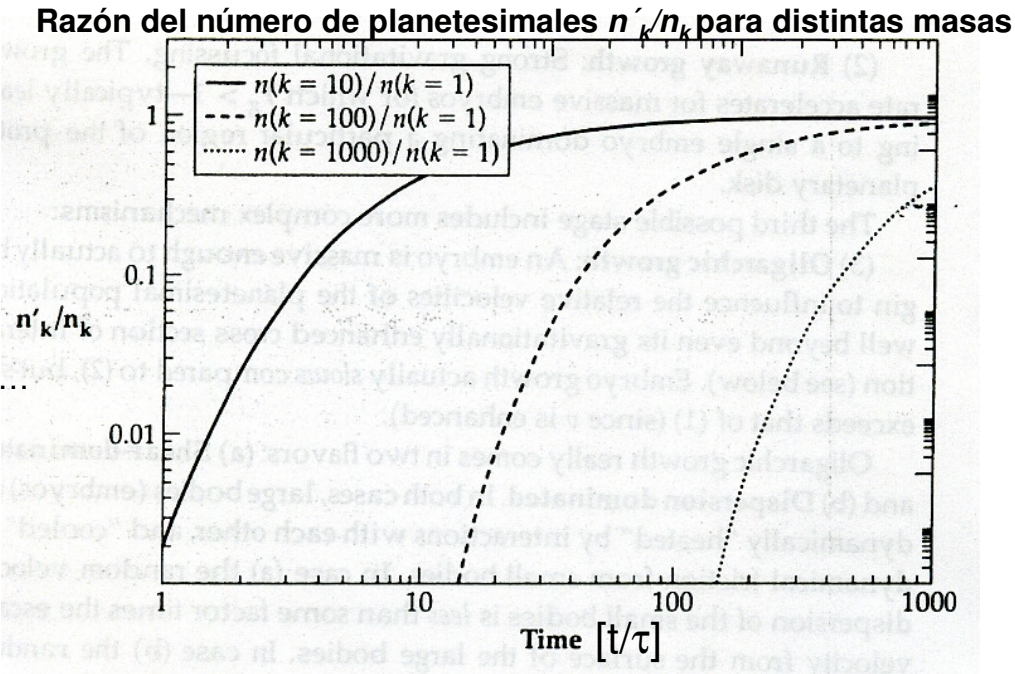
$$\tau = \frac{1}{\alpha \cdot n_1(t=0)}$$

Todas las curvas tienden asintóticamente a la unidad...

El número de objetos con *k* grande crece con el tiempo, pero... la distribución de masas "se aplana".

Notar que la normalización de este gráfico,  $n_1$ , cambia en el tiempo.





## Etapas de crecimiento (del embrión)

Modelo de acreción nuclear, IC

Se distinguen tres etapas embrionarias:

- I. Crecimiento "ordenando":  $F_g$  pequeño, el crecimiento relativo de los embriones disminuye en el tiempo. Los objetos tienden a igualarse en tamaño.
- II. Crecimiento "explosivo":  $F_g$  grande. La tasa de crecimiento se acelera para embriones masivos, un embrión domina una región particular del disco protoplanetario.

III. Crecimiento "oligárquico": El embrión es tan masivo, que afecta la velocidad de los planetesimales cercanos (equipartición de energía), mas allá *de b* (radio efectivo de influencia gravitacional). El embrión sigue creciendo, pero mas lentamente que en II. Crecimiento *estocástico*.

Ш

Times pan 106 years

Mass

Runaway / large object

100 x more massive than rest of population

Number

Simulaciones numéricas ⇒ Típicamente en una región dada (ver "radio de Hill"+adelante), un embrión experimenta crecimiento descontrolado, y coagula los planetesimales dentro de su zona de influencia, inhibiendo además el crecimiento de otros embriones.

# Equipartición de la energía

Resultado neto de colisiones entre el embrión (υ) y los planetesimales (ν). Colisiones "de frente" (embrión pierde momentum) y "de cola" (embrión gana momentum)

$$\frac{1}{u} \cdot \frac{du}{dt} = -4\pi n_s R_e^2 v \left(\frac{m}{M_e}\right)$$

¡El embrión tiende a detenerse c/r a los planetesimales! ("enfriamiento" dinámico)

Los planetesimales ganaran energía cinética a expensas del embrión, que la pierde

Equipartición: "Calentamiento dinámico" de los planetesimales debido a este efecto

NB: Si  $n_s$ , v y m son ~ constantes, la escala de tiempo para "equipartición" es aproximadamente igual al tiempo en que el embrión coagula  $M_e$ .

Para enfoque fuerte, 
$$\frac{dM_e}{dt} = 2\pi G \rho_s \left(\frac{M_e R_e}{v}\right)$$

Como v crece por equipartición, el crecimiento tardío del embrión (post-crecimiento explosivo, i.e., etapa oligárquica), tiende a hacerse mas lento...

## Etapas finales del crecimiento

Crecimiento cesa cuando se acaba el "alimento" (planetesimales). La "zona de alimentación" está dada, *en principio*, por la sección eficaz que barre el embrión (y que ya hemos calculado, el factor "b"). Pero...

En la derivación de *b* sólo se considero un sistema de 2 cuerpos. Pero, el embrión (y los planetesimales) giran alrededor de su protoestrella → efectos de marea. Este sistema de "3 cuerpos" define una distancia máxima de influencia desde la cual el embrión puede efectivamente "coagular" material, conocida como "radio de Hill".

da como "radio de Hill". 
$$R_H = \frac{a_e}{\sqrt[3]{3}} \cdot \left(\frac{M_e}{M_e + M_*}\right)^{1/3}$$
 Hacia la PE 
$$a_e : \text{semi-eje mayor del embrión}$$

Feeding zon

## Etapas finales del crecimiento (cont.)

El crecimiento explosivo sólo dura en tanto haya suficiente material para coagular Luego comienza a ser mas importante el crecimiento oligárquico (simul  $\Rightarrow R_{alim} \sim 2R_H$ ) Baja densidad de planetesimales  $\Rightarrow$  crecimiento *esporádico y aleatorio* del embrión Como  $R_H \propto a_e$ , la masa final del embrión **crece** con la distancia a la PE Masa final del embrión: Masa de "confinamiento"

$$M_e^{conf} = 2\pi a_e \cdot 2BR_H \cdot \sigma = \frac{\left(4\pi B a_e^2 \sigma\right)^{3/2}}{\left(3M_*\right)^{1/2}} \cong 0.013 \,\mathrm{M}_\oplus \quad \text{a 4 UA del Sol} \dots$$

Se requiere de fusiones estocásticas de ~100 objetos de tipo lunar También, dispersión de objetos dentro del sistema: Impactos & pasajes cercanos

## Resúmen, formación planetaria.

Procesos complejo ⇒ diversidad de sistemas planetarios

Colapso de nube molecular  $\rightarrow$  formación de objeto PE de 1M $_{\odot}$  en  $\Delta t << 10^6$  años

Foto-evaporación desde la PE central disipa el gas remanente en  $\Delta t \sim 10 \times 10^6$  años  $\Rightarrow$  planetas (gaseosos) deben formarse rápidamente.

Coagulación de partículas de polvo & moléculas en cuerpo pequeños (cm), que caen (sedimentan) hacia el disco proto-planetario

En menos de 10<sup>6</sup> años, formación de planetesimales (~1km) y embriones (~0.1M<sub>⊕</sub>)

Aglomeración y crecimiento gravitacional  $\rightarrow$  población de objetos de igual tamaño.

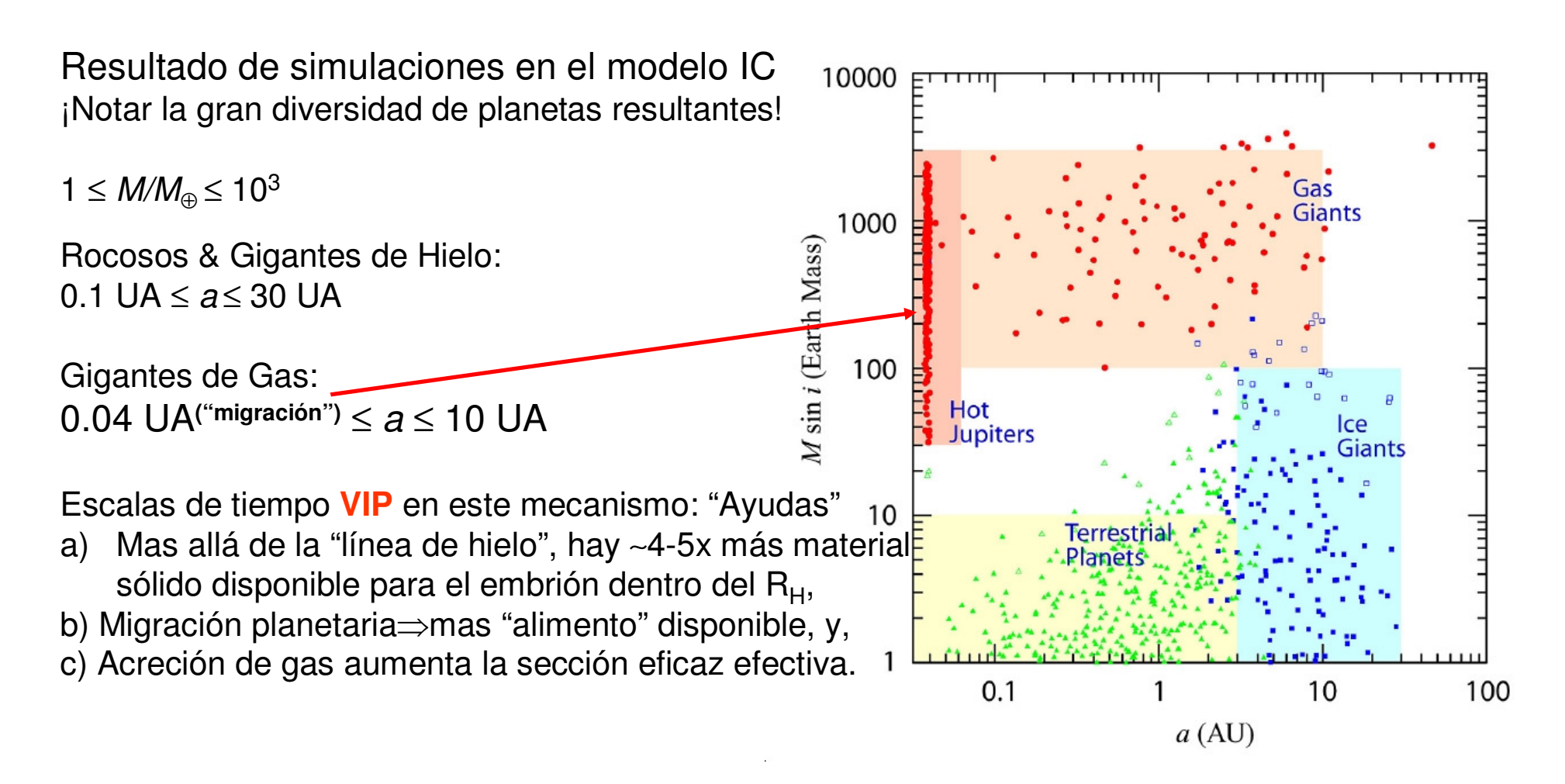
En el esquema IC, enfoque gravitacional →

Crecimiento descontrolado & crecimiento oligárquico  $\Rightarrow$  Núcleo de planetas gigante de ~10M $\oplus$  en  $\Delta$ t ~ 1-3×10<sup>6</sup> años. Acreción subsecuente de gas, por gravedad (Jupiter, Saturno).

La densidad de masa del disco en las afueras es menor, el crecimiento del embrión es mas lenta, y se recolecta menos gas (Urano, Neptuno).

Luego de ~ 10×10<sup>6</sup> años, evolución continúa debido a colisiones violentas de grandes oligarcas.

## Resúmen etapas de formación planetaria.



¿Formación planetaria en sistemas binarios? Varios exo-planetas descubiertos en sistemas binarios de gran separación (50 UA  $\leq$  a  $\leq$  7000 UA)